

تلفیق روش‌های سنجش از دور و مغناطیس‌سنجی بهمنظر اکتشاف کانسار آهن در گستره مراغ بندرچارک

رضا احمدی^{۱*} و عبدالرضا قره شیخ بیات^۲

۱. استادیار گروه مهندسی معدن، دانشکده مهندسی علوم زمین، دانشگاه صنعتی اراک
۲. دانشآموخته مهندسی معدن، گروه مهندسی معدن، دانشگاه صنعتی اراک

تاریخ دریافت: ۱۳۹۹/۰۸/۰۶

تاریخ پذیرش: ۱۳۹۹/۰۹/۰۹

چکیده

در پژوهش حاضر با استفاده از داده‌های سنجنده ASTER و به کمک نرم‌افزار ENVI، مطالعات سنجش از دور بهمنظر شناسایی پتانسیل و حضور کانه‌سازی احتمالی آهن در گستره مراغ بندرچارک واقع در استان هرمزگان، انجام شد. سپس اکتشاف مقدماتی گستره‌های امیدبخش، با استفاده از روش ژئوفیزیکی مغناطیس‌سنجی صورت گرفت. عملیات دورسنجی داده‌های گستره شامل پرش پردازش همانند تصحیح هندسی به روش تصویر به تصویر و تصحیح اتمسفری و تکنیک‌های پردازش ترکیب رنگی کاذب، نسبت‌گیری باندی، برازش کمترین مربع‌ها، تحلیل مولفه‌های اصلی انتخابی و در نهایت طبقه‌بندی نظرات شده با استفاده از روش نقشه‌برداری زاویه طیفی است. در نتیجه این فرآیند، نقشه پهنه‌های دگرسانی مرتبط با کانی زایی آهن منطقه مورد مطالعه مشخص شد. عملیات برداشت مغناطیسی در گستره‌ای به وسعت تقریبی ۱۱/۲ کیلومتر مربع و در ۱۹۱۳ ایستگاه اندازه‌گیری با استفاده از دستگاه مگنتومتر پروتون انجام شده است. برای انجام عملیات پردازش و تفسیر کیفی داده‌های مغناطیسی نظر اعمال تصحیحات و فیلترهای مختلف همانند برگردان به قطب، گسترش به سمت بالا تا ارتفاع‌های مختلف، فیلتر پایین‌گذر، فیلترهای مشتق شامل گرادیان افقی کل و سیگنال تحلیلی، از نرم‌افزار Geosoft Oasis montaj استفاده شد. در نهایت بهمنظر بررسی روند بی‌هنجاری‌های مغناطیسی مشاهده شده بر روی سطح، تعیین شکل تقریبی توده کانسار و تخمین عمق آن، مدل‌سازی وارون سه‌بعدی داده‌ها انجام گرفت. نتایج پژوهش حاضر از طریق تلفیق دو روش سنجش از دور و مغناطیس‌سنجی همراه با مدل‌سازی وارون سه‌بعدی داده‌های مغناطیسی نشان می‌دهند که منطقه مراغ از نظر کانه‌سازی آهن دارای پتانسیل بالایی است. نتایج این پژوهش برای کلیه کاربران علوم زمین بهویژه زمین‌شناسان و مهندسین اکتشافی قابل استفاده خواهد بود.

واژه‌های کلیدی: سنجش از دور، مدل‌سازی وارون سه‌بعدی، مراغ بندرچارک، مغناطیس‌سنجی، نرم‌افزار .ENVI

مقدمه

کانی‌های آهن که ضمن هوازدگی در محیط‌های غنی از اکسیژن نزدیک سطح زمین دچار انحلال می‌شوند، تشکیل یک بیرون‌زدگی غنی از اکسیدها را در سطح می‌دهند که در گستره‌های بزرگ با استفاده از روش‌های سنجش از دور می‌توان مزه‌های مناطق دارای اکسید آهن را با دقت قابل قبولی مشخص کرد. امروزه بررسی‌های دورسنجی بهدلیل داشتن داده‌هایی با دید وسیع، یکپارچه و محدوده طول

* نویسنده مرتبط: Rezahmadi@gmail.com

موقعیت جغرافیایی و زمین‌شناسی گستره مورد مطالعه

گستره مراغ مطابق شکل ۱ در یک کیلومتری جنوب روستاوی به همین نام از توابع بخش شیب‌کوه شهرستان بندرلنگه، ۱۴/۳ کیلومتری شمال شرقی بندرچارک استان هرمزگان در جنوب ایران قرار دارد. این گستره از شمال به روستای مراغ، از جنوب به باوردان، از غرب به سه کنار و از شرق به ارمک محدود می‌شود.

شکل ۲ نیز نقشه زمین‌شناسی گستره مورد مطالعه را نمایش می‌دهد. گستره اکتشافی براساس تقسیمات زمین‌شناسی-ساختمانی ایران در بخش جنوب شرقی پهنه زاگرس قرار دارد (Alian and Bazamad, 2014). این گستره از واحدهای درهم سازند هرمز به عنوان قدیمی‌ترین سازند منطقه، شیل، مارن و خاک سرخ به سن پرکامبرین تشکیل شده است و در سازندهای میشان (مارن خاکستری و آهک‌های رسی)، آغازاری (ماسه‌سنگ آهکی و مارن‌های سرخ‌رنگ) و بختیاری (کنگلومرا و ماسه‌سنگ‌های آهکی چرتی) با سن سنوزئیک بروندز یافته است.

سنگ‌های آدرین موجود در گستره مورد بررسی، شامل بازالت‌های حفره‌دار و دیاباز هستند که توزیع پراکنده و ناهمانگی دارند. در بخش شرقی، ارتفاعات به نسبت بلند بازالتی قرار دارد. سنگ‌های دیابازی به صورت استوک و دایک بروندز دارند و اغلب در آمیخته با رسوبات هستند. کانسنگ آهن منطقه شامل کانی‌های هماتیت، اسپیکولاریت، مگنتیت، گوتیت و دیگر اکسیدها و هیدروکسیدهای آهن است (Alian and Bazamad, 2014).

روش مطالعه

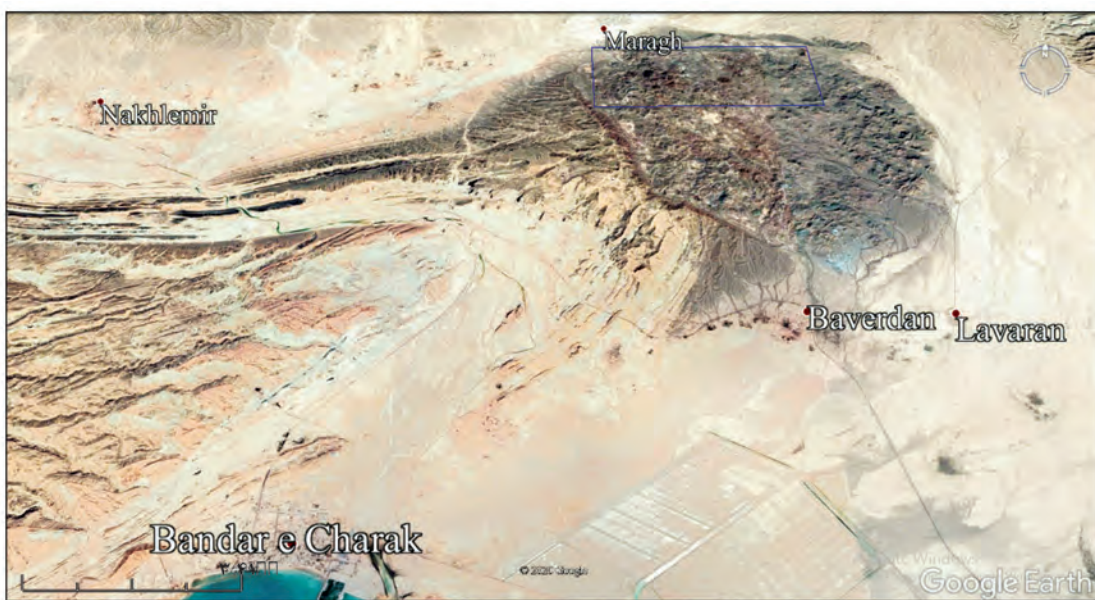
در پژوهش حاضر ابتدا داده‌های سنجنده ASTER گستره مراغ بندرچارک واقع در استان هرمزگان با استفاده از نسخه ۴/۷ نرم‌افزار ENVI مورد پردازش، تحلیل‌های مشاهده‌ای و طیفی سنجش از دور قرار گرفتند. در این مطالعه از داده‌های ASTER Level 1T با شماره AST_L1T_00308232003070852 ۱۷ با شماره 28971_T ۲۰۱۵۰۴۳۰۱۴۴۴۳۱ مربوط به تاریخ

موحی مختلف، از بهترین روش‌ها در بی‌جوبی کانسارهای مغناطیسی شناخته می‌شوند.

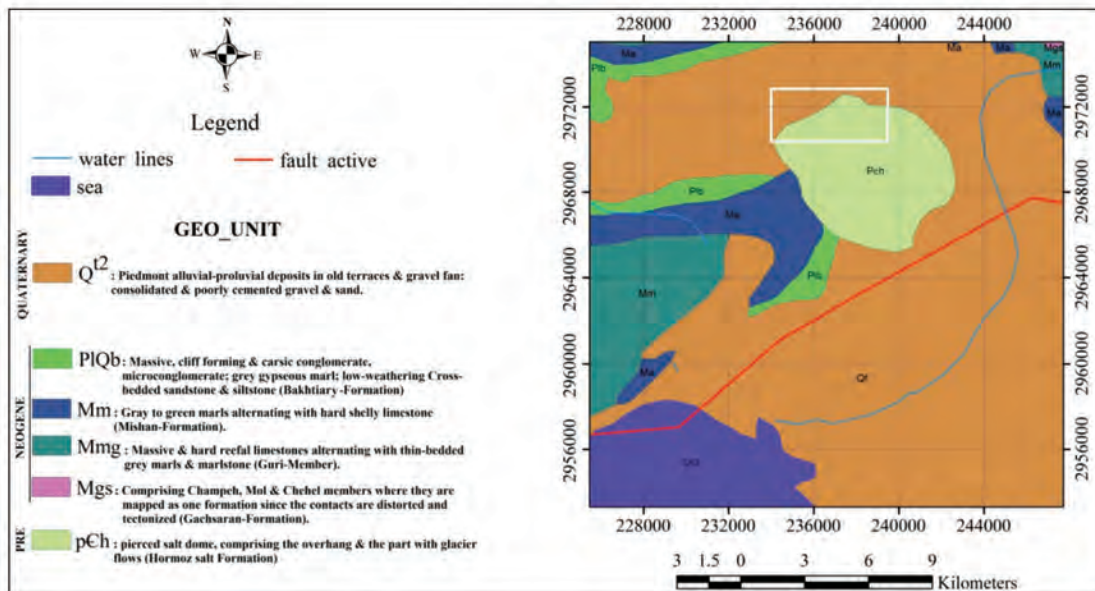
داده‌های ابرطیفی دربرگیرنده مجموعه اطلاعات غنی از بازتاب‌های الکترومغناطیسی سطحی زمین هستند. اجسام مختلف در محدوده طول موج‌های طیف الکترومغناطیسی، بسته به ویژگی‌های فیزیکی و ترکیبات کانی‌شناسی و شیمی خود، امواج الکترومغناطیسی را در طول موج‌های مختلف با شدت‌های متفاوت بازتاب کرده یا جذب می‌کنند.

وجود اطلاعاتی از رفتار طیفی اجسام گوناگون در طول موج‌های مختلف، بر اساس منحنی‌های شاخص بازتابندگی وجود طیف در سنجش از دور بسیار بالاهمیت است (Gupta and Roy, 2007). به طور کلی روش‌های پردازش تصویرهای ماهواره‌ای را می‌توان به دو گروه آمارپایه و طیف‌مبنا تقسیم‌بندی کرد. در روش اول (آمارپایه) اصول پردازش بر مبنای نحوه پراکندگی فراوانی‌نمای مقادیر پیکسلی هر باند، میانگین، میانه و مد پایه‌گذاری شده است. این در حالی است که در روش دوم (طیف‌مبنا) از ابتدای پردازش باید الگوی طیفی مرجع، مشخص باشد.

پس از شناسایی مناطق مستعد مغناطیسی با سنجش از دور، مغناطیسی سنجی به عنوان یک روش ژئوفیزیکی سریع و ارزان قیمت برای اکتشاف کانسارهای آهن مورد استفاده قرار می‌گیرد. در این روش هدف به دست آوردن خودپذیری مغناطیسی و تعیین وضعیت کانسار در عمق از طریق اندازه‌گیری شدت میدان مغناطیسی در یک محدوده است (Cooper and Cowan, 2006). در سال‌های اخیر روش مغناطیسی سنجی به طور موفقیت‌آمیزی برای اکتشاف کانی‌های مغناطیسی مکنتیت، ایلمنیت، هماتیت، سیدریت، لیمونیت و گوتیت در نقاط مختلف جهان مورد استفاده قرار گرفته است. مدل‌سازی پیشرو و وارون، ابزار تصویرسازی کانسنگ در روش مغناطیسی سنجی هستند. بهویژه روش وارون‌سازی برای بررسی و تقسیم بی‌هنجاری‌های مغناطیسی، به دفعات زیاد مورد استفاده قرار گرفته (به عنوان نمونه فاتحی و همکاران؛ Parker؛ ۱۳۹۲؛ Schoppa et al., 2000؛ and Huestis, 1974) و در موارد بکاررفته نتایج مطلوبی حاصل شده است.



شکل ۱. موقعیت جغرافیایی گستره مورد مطالعه (مستطیل آبی رنگ) در نقشه Google Earth



شکل ۲. نقشه زمین‌شناسی و واحدهای لیتوژئوگستره مورد مطالعه (مستطیل سفیدرنگ) (Haddadan, 2006)

طیفی مرئی و فروسرخ نزدیک^۳، فروسرخ طول موج کوتاه^۴ و فروسرخ حرارتی^۵ را در قالب ۱۴ باند و از طول موج ۰/۵۲ تا ۱۱/۶۵ میکرومتر پوشش می‌دهد (Yamaguchi et al., 2001). در این راستا پهنه‌های دگرسانی مرتبط با کانی‌سازی

۲۰۰۳/۰۸/۲۲ استفاده شده است. امروزه داده‌های ASTER با توجه به قیمت پایین، دسترسی آسان و تفکیک‌پذیری به نسبت مطلوب، به ابزاری مفید برای مقاصد اکتشافی، تبدیل شده است. این سنجنده یکی از تصویربرداری‌های موجود بر روی ماهواره TERRA می‌باشد که در دسامبر سال ۱۹۹۹ به عنوان بخشی از سامانه مشاهده زمین^۶ (ناسا) پرتاب شد (Torres, 2007). سنجنده ASTER سه محدوده

1. Earth observing system
2. Visible and near-infrared
3. Short-wave infrared
4. Thermal infrared

(G(2)B(3)) به منظور آشکارسازی اکسیدهای آهن (هماتیت، گوتیت و لیمونیت)، با توجه به ویژگی جذب طیفی در محدوده امواج مادون قرمز نزدیک و طیف مؤئلی (VNIR) (تاجیک و کاکائی، ۱۳۸۵) مورد استفاده قرار گرفته است (شکل ۳-ب). در این ترکیب رنگی مناطق دارای اکسید آهن بین پیکسل‌های سفید و زرد متغیر هستند. به علاوه ترکیب رنگی (G(4)B(1)) نیز برای بازسازی اکسیدهای آهن استفاده شده است (شکل ۳-ج). در آن، مناطق دارای اکسید آهن به رنگ سبز، دگرسانی پروپیلیتیک به رنگ آبی و دگرسانی آرژیلیک به رنگ‌های صورتی و زرد مایل به صورتی درآمده است.

اعمال روش نسبت‌گیری باندی

نسبت‌گیری باندی در واقع یکی از روش‌های پردازش تصاویر چندطیفی است که شامل تقسیم پیکسل‌های یک تصویر یا یک باند طیفی به پیکسل‌های متناظر آن با تصویر یا باند دیگر است. روش نسبت‌گیری باندی می‌تواند برای بازسازی اختلاف طیفی بین باندها مورد استفاده قرار گیرد؛ همچنین اثرهای سایه و اختلاف روشنایی زمین را بدليل شیب زمین کاهش دهد (Abera, 2005; Hewson et al., 2005; Rowan and Mars, 2003; Sabins, 1999).

برای بازسازی دگرسانی پروپیلیتیک، می‌توان از بازسازی کانی‌های شاخص این دگرسانی با استفاده از نمودارهای استاندارد آن بهره برد. مطابق طیف بازتابی استاندارد کانی‌های شاخص دگرسانی پروپیلیتیک، این دگرسانی در باندهای هفت و نه دارای تابش و در باند هشت بدليل وجود پیوند Mg-OH دارای بیشترین جذب می‌باشد. بر همین اساس نسبت باندی ۷/۸ معادله باند مناسبی برای آشکارسازی مناطق دارای دگرسانی پروپیلیتیک بوده و مناطق دارای این دگرسانی با اثر مثبت (پیکسل‌های سفیدرنگ) آشکار شده‌اند (شکل ۴-الف).

آهن مشخص شد. پس از شناسایی گستره و مشخص شدن حضور کانی‌سازی احتمالی آهن، اکتشاف مقدماتی کانسار با روش مغناطیس سنجی، پردازش داده‌های مغناطیسی با استفاده از نرم‌افزار Geosoft Oasis montaj و مدل‌سازی وارون سه‌بعدی داده‌ها انجام گرفت.

بحث

فرآیند سنجش از دور گستره مورد مطالعه

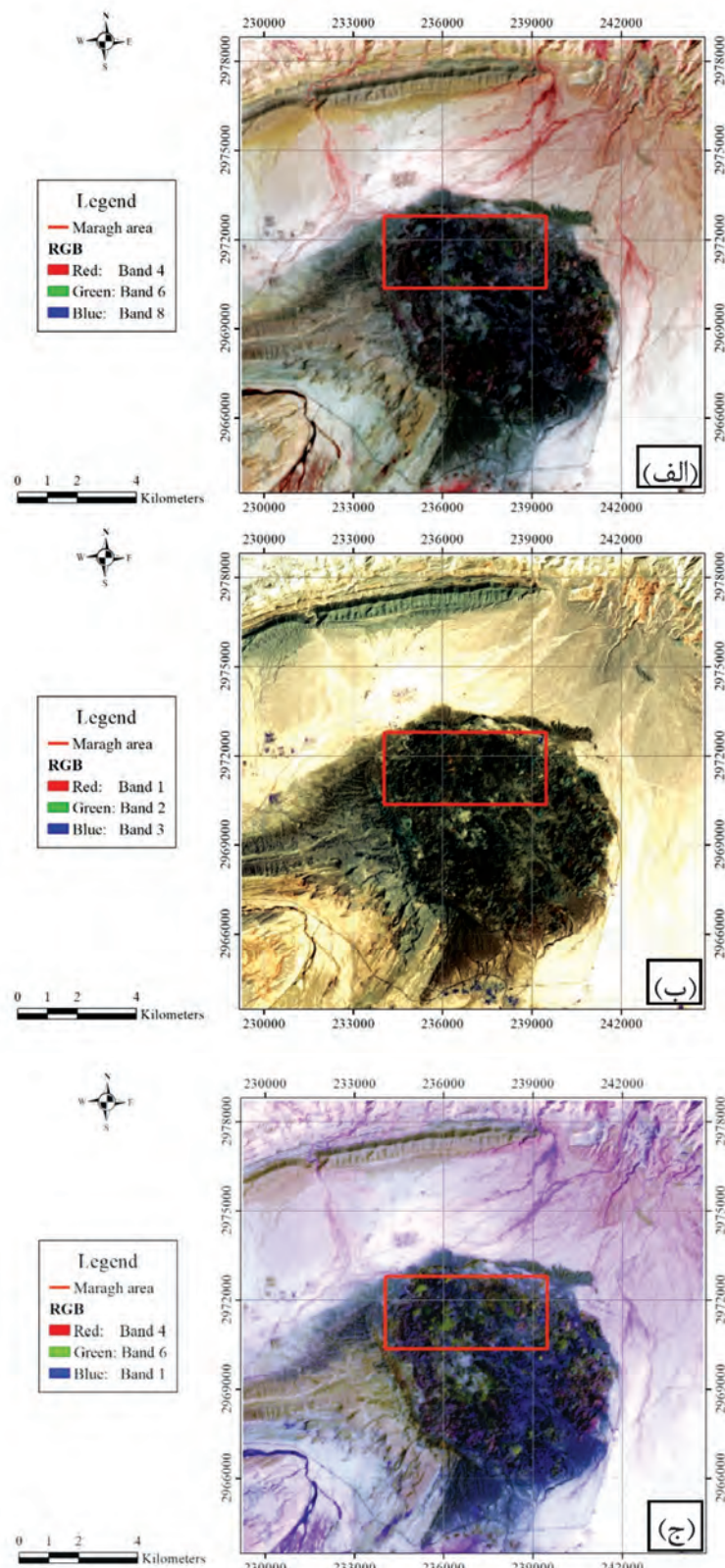
فرآیند سنجش از دور مشتمل بر دو مرحله است. مرحله اول، پیش‌پردازش و آماده‌سازی داده‌ها قبل از ورود آنها به مرحله پردازش است. عملیات پیش‌پردازش داده‌های گستره مورد مطالعه شامل تصحیح هندسی به روش تصویر به تصویر^۱ و تصحیح اتمسفری^۲ است. مرحله دوم تعیین بهترین باندهای سنجنده ASTER و اعمال تکنیک‌های ترکیب رنگی کاذب^۳ (FCC)، نسبت‌گیری باندی^۴ (BR)، برازش کمترین مربعات^۵ (LS-Fit)، روش انتخابی کروستا^۶ یا تحلیل مولفه‌های اصلی انتخابی^۷ (DPCA) و در نهایت طبقه‌بندی نظارت شده با استفاده از روش نقشه‌برداری زاویه طیفی^۸ (SAM) و تهییه نقشه دگرسانی گستره مورد مطالعه است.

اعمال تکنیک ترکیب رنگی کاذب

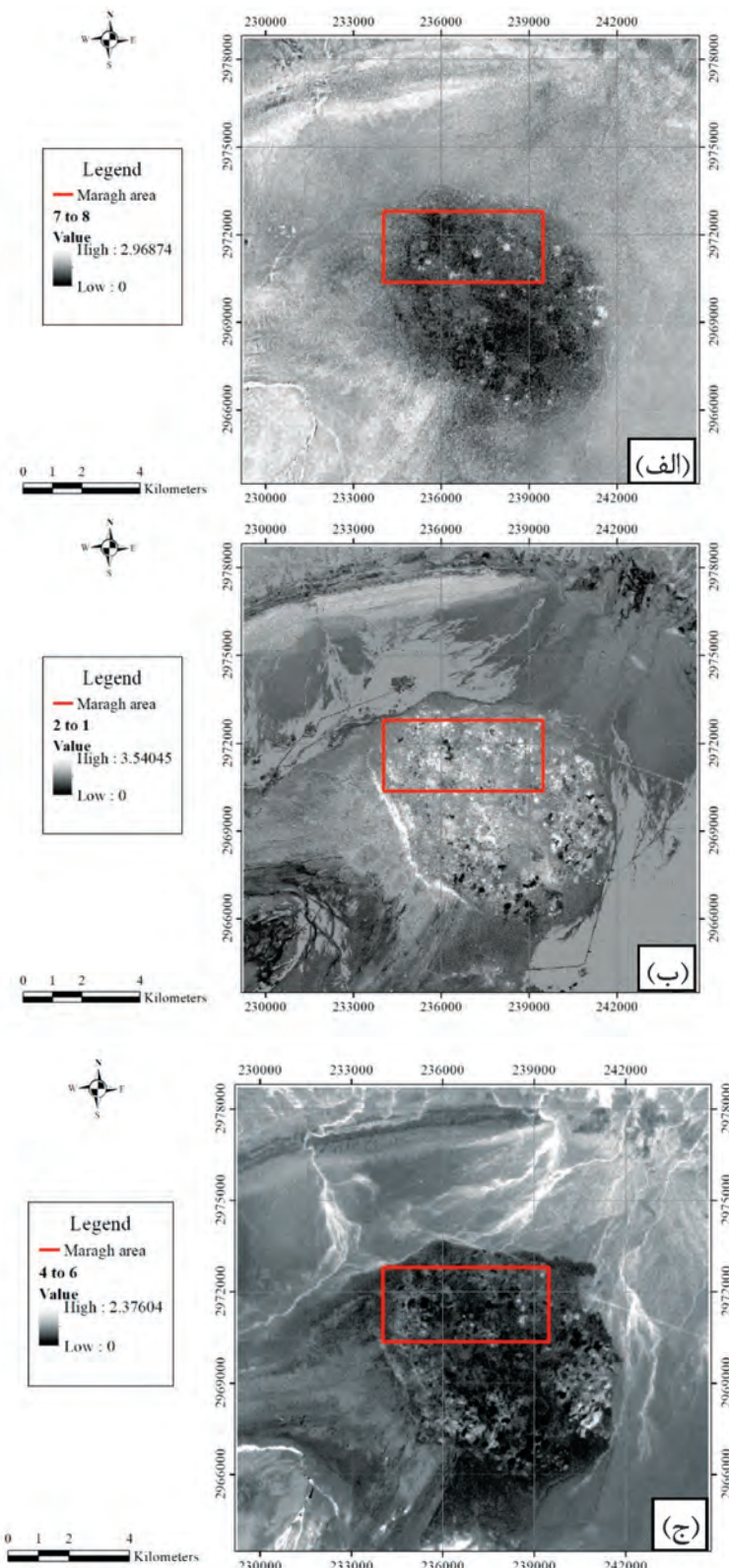
در این روش با قرار دادن باندهای مناسب تصویر در جعبه‌های قرمز، سبز و آبی، عوارض مورد نظر مفسر به رنگ‌های دلخواه در تصویر، نمایان می‌شوند تا عوارض مطلوب به آسانی از تصویر بدست آمده استخراج شود. ترکیب رنگی کاذب باندهای (8)R(B(4)G(6)B(8)) به دلیل جذب کانی‌های شاخص کمریند فیلیک-آرژیلیک (کاٹولینیت، ایلیت و مونت موریونیت) در باند شش مادون قرمز کوتاه (SWIR) و جذب کانی‌های شاخص دگرسانی پروپیلیتیک (کلریت و اپیدوت) در باند هشت مادون قرمز کوتاه (SWIR) برای آشکارسازی دگرسانی‌ها در گستره کانسار مناسب هستند (Azizi et al., 2010; Boloki and Poormirzaee, 2009; Di Tommaso and Rubinstein, 2007).

در ترکیب رنگی (8)R(B(4)G(6)B(8))، دگرسانی آرژیلیک به رنگ صورتی تا قرمز و دگرسانی پروپیلیتیک به رنگ سبز نمایان می‌شود (شکل ۳-الف). ترکیب رنگی کاذب باندهای (1)

1. Image to image
2. Internal average relative reflectance
3. False Color Composite
4. Banding Ratio
5. Least Square-Fit
6. Crosta
7. Directed Principal Component Analysis
8. Spectral Angle Mapper



شکل ۳. (الف) ترکیب رنگی کاذب (R(4)G(6)B(8), (ب) ترکیب رنگی کاذب (R(1)G(2)B(3), (ج) ترکیب رنگی کاذب (B(1)



شکل ۴. نسبت‌های باندی، (الف) ۷/۸ برای آشکارسازی دگرسانی پروپیلیتیک به صورت پیکسل‌های روشن، (ب) ۲/۱ برای بازسازی اکسیدهای آهن، (ج) ۴/۶ برای آشکارسازی دگرسانی آرژیلیک به صورت پیکسل‌های روشن

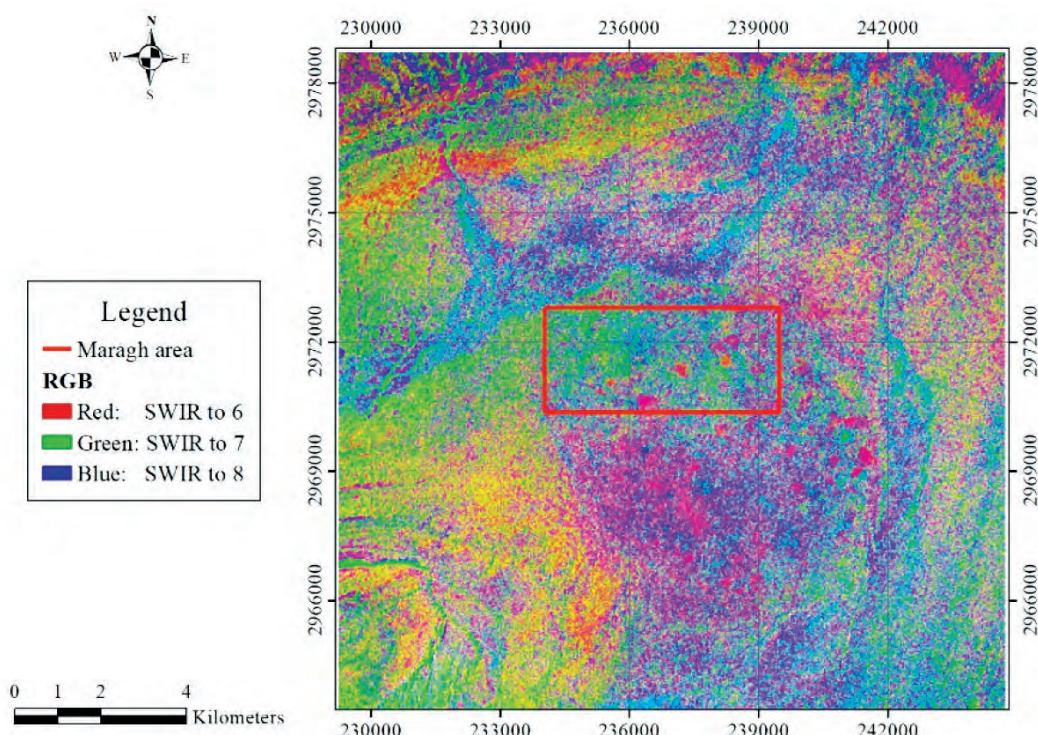
به صورت یک عبارت خطی بیان کنند. این مقدار در واقع باند پیش‌بینی شونده نامیده شده و به عنوان خروجی مدل در نظر گرفته می‌شود. بعضی از کانی‌های شاخص، اثرات بازتابی خود را تنها در یک باند خاص نمایش می‌دهند. بنابراین میان مقادیر محاسبه شده آنها توسط روش کمترین مربعات و مقدار واقعی، اختلافی وجود خواهد داشت که باقی‌مانده نام دارد. روش LS-Fit بر اساس مقادیر باقی‌مانده، اقدام به استخراج مناطق شامل کانی‌های مورد نظر می‌کند (Fakhari et al., 2019).

در گستره مورد مطالعه برای آشکارسازی دگرسانی‌های فیلیک، آرژیلیک و پروپیلیتیک با استفاده از این روش، به ترتیب باندهای شش، چهار و هشت در مقابل پنج باند باقی‌مانده SWIR به عنوان باندهای پیش‌بینی کننده انتخاب شدند. برای مشخص کردن هرچه بهتر دگرسانی‌های فیلیک، آرژیلیک و پروپیلیتیک، در شکل ۵ ترکیب رنگی RGB نشان داده شده است.

برای شناسایی مناطق دارای اکسیدهای آهن (گوتیت، لیمونیت و هماتیت) به سبب جذب در ناحیه باند یک و تابش بیشینه در باند دو (Zamyad et al., 2019, Soe et al., 2005)، از نسبت‌گیری باندی ۲/۱ برای بازسازی اکسیدهای آهن بهره گرفته شده است. به همین دلیل در تصویر استخراج شده (شکل ۴-ب)، این مناطق با پیکسل‌های سفیدرنگ نمایان شده‌اند. بدین ترتیب مطابق نمودار طیف بازتابی کانی‌های شاخص دگرسانی فیلیک-آرژیلیک، این سری از کانی‌ها در باند شش و باند چهار به ترتیب بیشترین جذب و تابش را دارا می‌باشند (Ninomiya, 2003)، به همین دلیل برای شناسایی مناطق دارای دگرسانی، از نسبت‌های باندی ۴/۶ استفاده شده است (شکل ۴-ج).

روش برآذش کمترین مربع‌ها

در این روش فرض برآن است که باندهای به کار رفته به عنوان مقادیر ورودی می‌توانند رفتار سایر باندها را



شکل ۵. نقشه دگرسانی‌های گستره مورد مطالعه به کمک ترکیب رنگی با روش LS-Fit (R(Phyllitic), G(Argillic), B(Propylitic)).

جدول ۳. ماتریس مقادیر ویژه کمربند پروپیلیتیک

	PC1	PC2	PC3
Band 7	-۰.۶۱۹۸۹۵	-۰.۵۷۶۴۹۶	-۰.۵۳۲۳۳
Band 8	-۰.۴۹۵۳۹۹	-۰.۳۳۸۵۸۵	۰.۸۳۵۲۵۹
Band 9	-۰.۶۰۸۵۳۱	۰.۷۸۱۴۹۲	-۰.۱۳۷۶۹

در بررسی ماتریس مقادیر ویژه کمربند فیلیک، بیشترین اختلاف بین باندهای چهار و شش در PC3 مشاهده می‌شود (جدول ۱)، بنابراین PC3 برای کمربند فیلیک مناسب تشخیص داده شد. همچنین با توجه به منفی بودن باند چهار و مثبت بودن باند شش، می‌توان نتیجه گرفت که پیکسل‌های تیره در PC3 نمایانگر مناطق دگرسان شده فیلیک هستند (شکل ۶-الف). همین طور برای شناسایی محدوده‌های دارای دگرسانی آرژیلیک، اختلاف میان باندهای چهار و هفت در PC2 (جدول ۲) نمایش‌دهنده مناطق دارای دگرسانی آرژیلیک است (شکل ۶-ب). در روشنی مشابه برای شناسایی محدوده‌های دگرسانی پروپیلیتیک که با استفاده از باندهای هفت، هشت و نه حاصل شده است (جدول ۳)، اختلاف میان باندهای هفت و هشت در PC3 بیشترین مقدار بوده و می‌توان پراکندگی دگرسانی پروپیلیتیک را در آن مشاهده کرد (شکل ۶-ج).

طبقه‌بندی نظارت شده به روش الگوریتم نقشه‌برداری زاویه طیفی

فرآیند طبقه‌بندی نظارت شده به روش نقشه‌برداری زاویه طیفی، بدین صورت است که نقشه‌برداری سریع پدیده‌ها را از طریق محاسبه شباهت طیفی بین بردار تصویر با داده‌های طیفی مرجع ممکن می‌سازد (Yuhas et al., 1992). الگوریتم این روش، شباهت بین دو طیف را به وسیله زاویه طیفی بین آن دو محاسبه می‌کند. در این روش هرچه مقدار زاویه (بین صفرتاً ۱۰۰) کمتر باشد، شناسایی دقیق‌تر خواهد بود. نتایج حاصل از اعمال تکنیک نقشه‌برداری زاویه طیفی در شکل ۷-الف ارائه شده است که پراکندگی دگرسانی‌های پروپیلیتیک، فیلیک-آرژیلیک و اکسید آهن را در گستره مورد مطالعه نشان می‌دهد. همچنین در شکل ۷-ب به منظور بهبود کیفیت تصویر از فراوانی نمای

اعمال روش انتخابی کروستا

تحلیل مولفه‌های اصلی هدایت شده (PCA)، تکنیکی قدرتمند است که می‌تواند برای فشرده‌سازی تصاویر و از بین بردن اثرات ناخواسته مورد استفاده قرار گیرد (علوی پناه، ۱۳۸۲). به واسطه این روش، می‌توان شکل‌های ویژه زمین‌شناسی از جمله کمربندهای دگرسانی را تشخیص داد. Moore (1989) Crosta و (1989) تکنیکی مبتنی بر PCA را برای نقشه‌برداری اکسیدهای آهن و گروههای هیدروکسیدی با استفاده از داده‌های سنجنده لندست TM معرفی کردند. همچنین آنها از تکنیک مبتنی بر تحلیل مولفه‌های اصلی انتخابی هدایت شده برای نقشه‌برداری انواع اکسیدهای آهن و کانی‌های رسی بهره برندند (Ranjbar et al., 2004; Crosta et al., 2004) (Ranjbar et al., 2003).

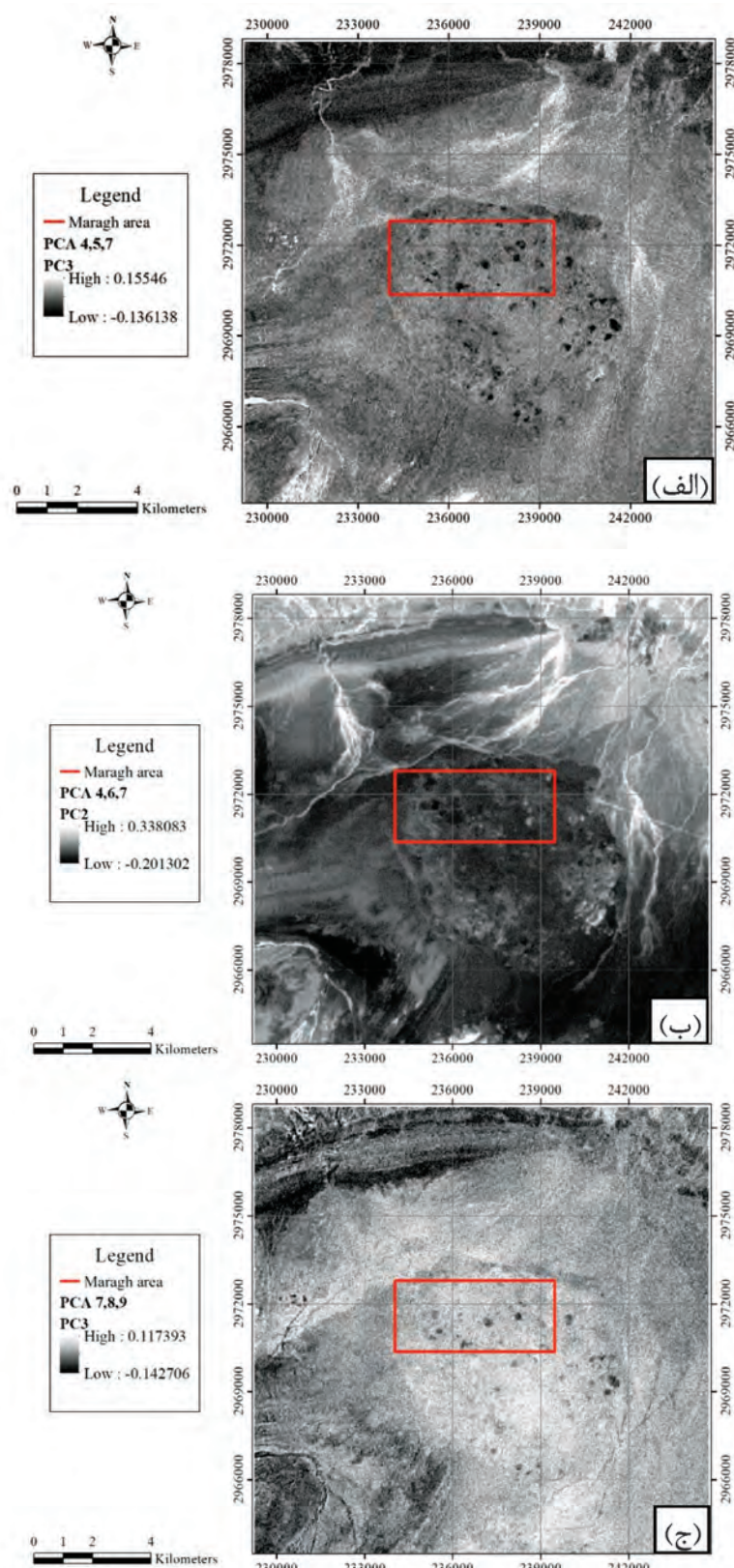
در اینجا برای شناسایی کمربندهای دگرسانی آرژیلیک از باندهای چهار، پنج و هفت، دگرسانی فیلیک از باندهای چهار، شش و هفت و برای دگرسانی پروپیلیتیک از باندهای هفت، هشت و نه به عنوان ورودی روش تحلیل مولفه‌های اصلی استفاده شده است (Khaleghi and Ranjbar, 2011). پس از بررسی پروفیل طیفی هر یک از دگرسانی‌های بیان شده، فرآیند تحلیل مولفه‌های اصلی بر روی هر گروه به طور جداگانه انجام گرفته و نتایج در جدول‌های ۱ و ۲ آورده شده است.

جدول ۱. ماتریس مقادیر ویژه کمربند فیلیک

	PC1	PC2	PC3
Band 4	-۰.۵۷۳۶۷	-۰.۵۷۶۲۶	-۰.۵۸۲۰۹
Band 6	-۰.۷۷۴۰۷	۰.۱۴۹۰۵	۰.۶۱۵۳۱
Band 7	۰.۲۶۷۸۱	-۰.۸۰۳۵۶	۰.۵۳۱۵۷

جدول ۲. ماتریس مقادیر ویژه کمربند آرژیلیک

	PC1	PC2	PC3
Band 4	۰.۵۵۳۵۴۲	۰.۵۶۹۳۱۲	۰.۶۰۷۸۴۵
Band 5	۰.۸۰۸۴۱۹	-۰.۱۹۱۹۲۶	-۰.۵۵۶۴۳۸
Band 7	۰.۲۰۰۱۲۵	-۰.۷۹۹۴۰۵	۰.۵۶۶۴۸۲

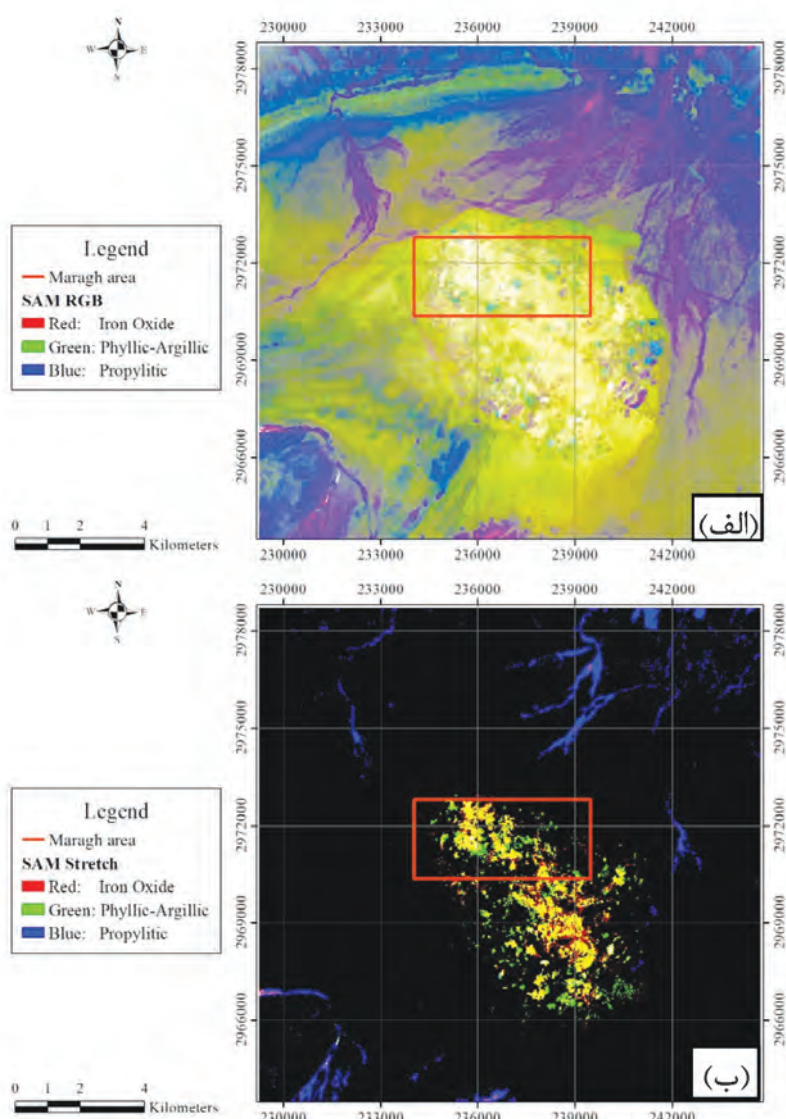


شکل ۶. آشکارسازی کمرندهای، (الف) فیلیک، (ب) آرژیلیک، (ج) پروپیلیتیک به روش PCA

اکسید آهن موجود در منطقه می‌باشد. نتایج به دست آمده از دورسنجی گستره مورد مطالعه و بازدید صحرایی از گستره در حین برداشت مغناطیس‌سنجی و مشاهده رخنمون‌های هماتیتی و مگنتیتی در منطقه، می‌توان به صحت و درستی دورسنجی انجام شده و نتایج به دست آمده بی‌برد.

کششی^۱ (کشیدن و محدود کردن طیف رنگ‌ها بهمنظور باقی‌ماندن محدوده‌های بالا) استفاده شده که می‌توان با بررسی فراوانی‌نما، از اطلاعات آماری یک بخش و یا کل تصویر استفاده کرد.

با توجه به شکل ۷، می‌توان نتیجه گرفت که پیکسل‌های سبز رنگ آلتراسیون فیلیک و پیکسل‌های زرد رنگ آژلیک را مشخص می‌کنند. همچنین پیکسل‌های قرمز رنگ بیانگر



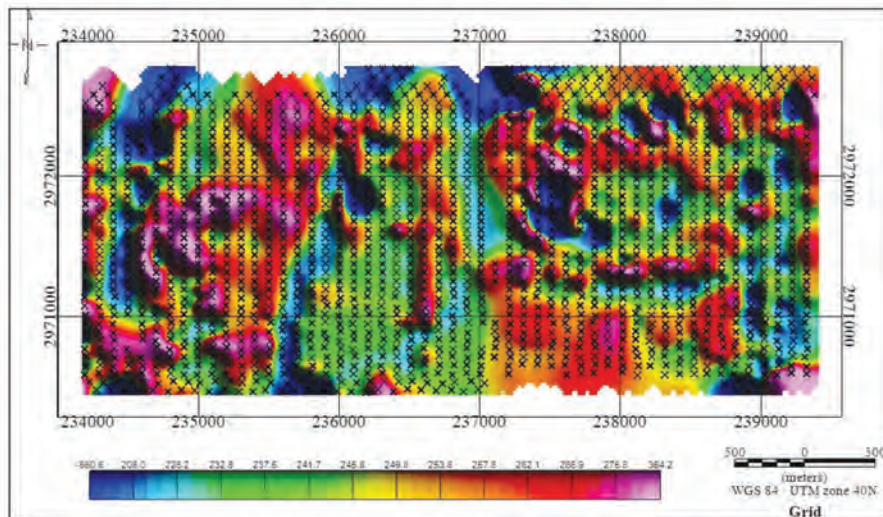
شکل ۷. استخراج دگرسانی‌های پروپیلیتیک، فیلیک‌آژلیتیک و اکسیدهای آهن با استفاده از الگوریتم SAM (Iron-Oxide), (a)، SAM Stretch (Iron-Oxide), (b).

1. Stretching Histogram

مغناطیس سنجی گستره مورد مطالعه

مغناطیس باقیمانده بدست آمد. در شکل ۸ نقشه تغییرات شدت میدان مغناطیسی باقیمانده منطقه مورد مطالعه نشان داده شده است. این نقشه با کم کردن مقدار IGRF گستره مطالعاتی از داده های ثبت شده در منطقه به دست آمده است. همان گونه که در این شکل مشاهده می شود، نیمه غربی گستره دارای بیشترین تغییرات شدت میدان مغناطیسی است. در نیمه شرقی نیز گستره های با شدت مغناطیسی بالا به صورت مجزا از یکدیگر دیده می شوند.

برداشت مغناطیسی در این گستره بر روی پهنه های دگرسانی مرتبط با کانی زایی آهن حاصل از روش دورسنجی، در گستره ای به ابعاد تقریبی ۵/۲ در ۲/۱۵ کیلومتر و در ۱۹۱۳ ایستگاه اندازه گیری با استفاده از یک دستگاه مگنتومتر پروتون صورت گرفته است. برای انجام عملیات پردازش و تفسیر کیفی داده های مغناطیسی، از نرم افزار Oasis montaj Geosoft نسخه ۸/۴ بهره برده شد. با لحاظ کردن مقادیر ۴۲/۲ درجه برای زاویه میل مغناطیسی، از ۲/۴ درجه برای زاویه انحراف مغناطیسی و تصحیح IGRF، داده های

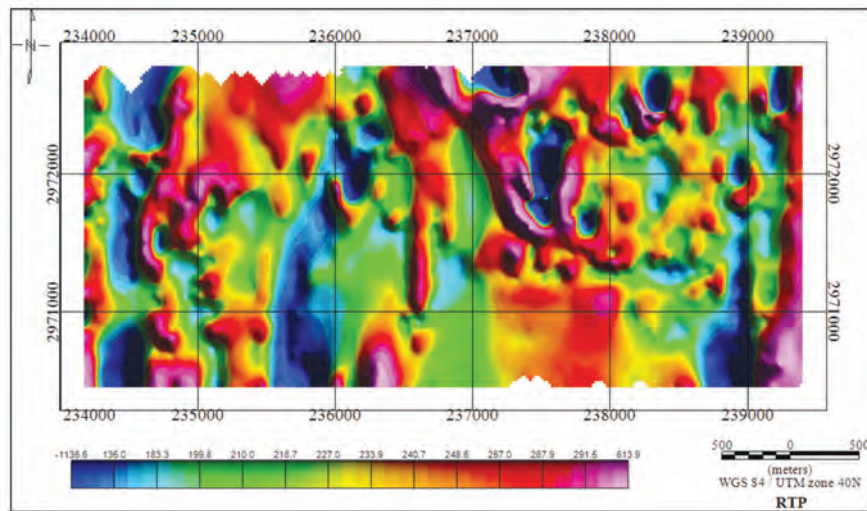


شکل ۸. نقشه تغییرات شدت میدان مغناطیسی باقیمانده گستره مورد مطالعه (موقعیت نقاط برداشت با علامت × مشخص شده اند)

در این نقشه اندکی پیچش و جایه جایی مشاهده می شود. از آنجایی که اثر توده های مغناطیسی عمیق بسیار کمتر از توده های نزدیک به سطح زمین می باشد، برای تفسیر هرچه بهتر توده های عمیق لازم است که فیلتر ادامه فراسو¹ یا گسترش به سمت بالا اعمال شود. اساس این روش آن است که داده ها به ارتفاع بالاتری نسبت به سطح اصلی برداشت شده خود منتقل می شوند و هدف آن حذف بی هنجاری های با طول موج کوتاه، برجسته سازی بی هنجاری های عمیق و کم کردن اثر عوامل خطای از Lelievre and Oldenburg, (2006).

از آنجایی که میدان مغناطیسی خاصیت برداری دارد، اثر زاویه میل و انحراف مغناطیسی زمین باعث خواهد شد تا مقادیر بیشینه شدت میدان مغناطیسی کل به طور دقیق بر روی توده مغناطیسی منطبق نباشد. برای تصحیح این پارامترها از فیلتر برگردان به قطب (RTP) استفاده می شود؛ به گونه ای که در چنین نقشه های بیشترین مقدار بی هنجاری به طور دقیق بر روی منشا آنها قرار خواهد گرفت. Naudy و Baranov (1957) و Baranov (1964) توسعه داده شد (Azizi et al., 2010). در شکل ۹ نقشه حاصل از این پردازش آورده شده است که در آن چندین کمریند بی هنجاری را می توان مشاهده کرد. این نقشه کم و بیش شبیه نقشه شکل ۸ است با این تفاوت که

1. Reduce to pole
2. Upward continuation



شکل ۹. نقشه برگردان به قطب مغناطیسی گستره مورد مطالعه

یکی از مهم‌ترین مباحث در تفسیرهای مغناطیسی، تعیین دقیق مرز بی‌هنجری‌هاست. برای این مهم، فیلترهای متعددی استفاده می‌شوند که می‌توان از فیلترهای مشتق قائم، مشتق افقی، گرادیان افقی کل^۳ (THD)، سیگنال تحلیلی و زاویه تیلت نام برد. تمامی فیلترهای اشاره شده، فیلترهای بالاگذر هستند که هدفان بر جسته‌سازی تغییرات مرتبط با توده سرچشمه بی‌هنجری است. علاوه بر کاربرد این فیلترها در تخمین مرز، اساس بیشتر روش‌های تفسیر بی‌هنجری‌های میدان پتانسیل مانند روش‌های تخمین عمق، کمیت مشتق خواهد بود. متدالوئن ترین فیلتر در برآورد مرز بی‌هنجری‌های میدان پتانسیل، فیلتر گرادیان افقی کل است. کارآیی این فیلتر در تشخیص و تعیین لبه منابع عمیق و مدفون است که از طریق رابطه ۱ محاسبه می‌شود:

$$THD = \sqrt{\left(\frac{\partial T}{\partial x}\right)^2 + \left(\frac{\partial T}{\partial y}\right)^2} \quad (1)$$

شکل ۱۲ نتیجه اعمال فیلتر گرادیان افقی کل بی‌هنجری را نشان می‌دهد. در این شکل بیشینه مقدار

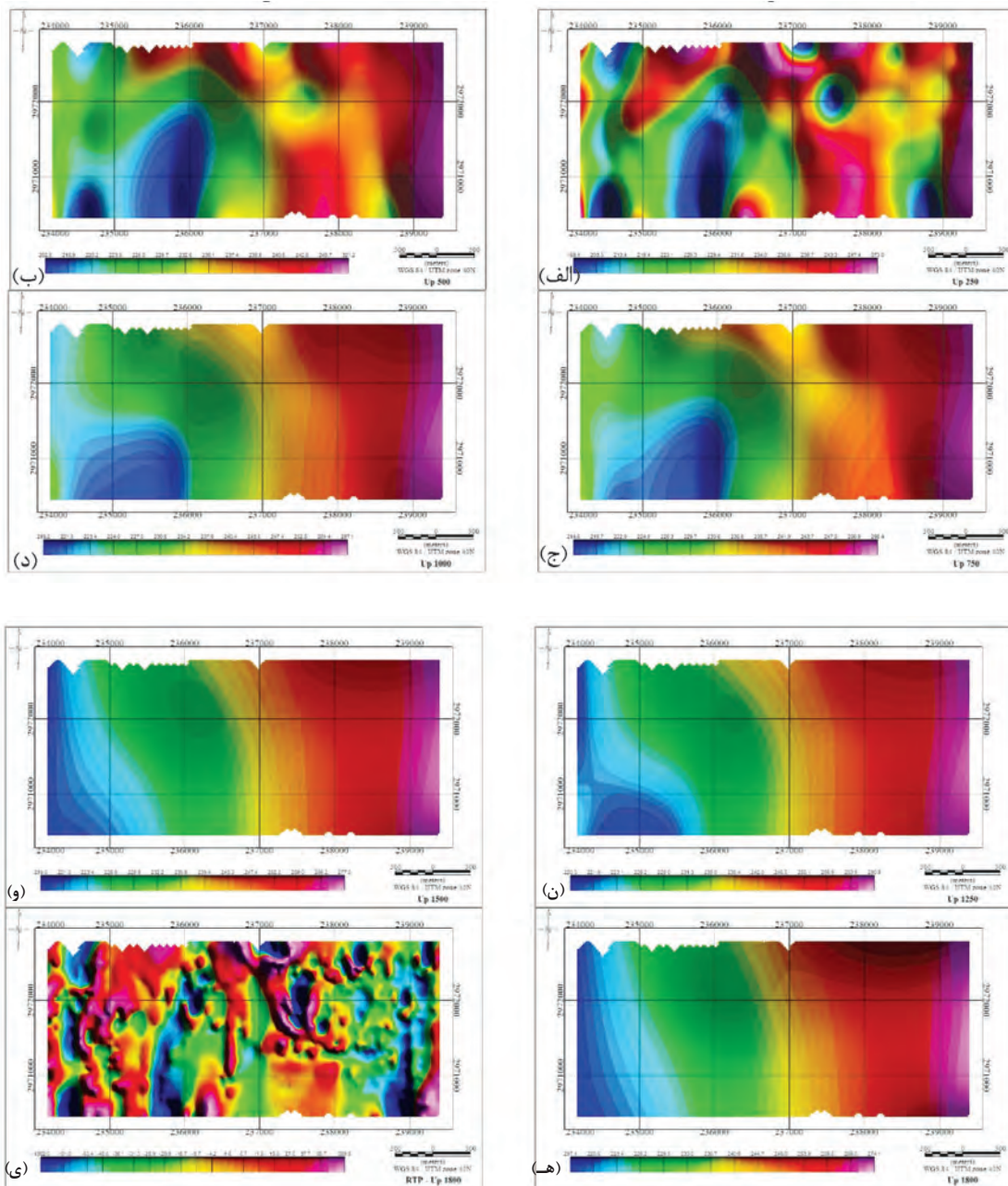
مطابق شکل ۱۰ این پردازش در ارتفاع‌های ۵۰۰، ۷۵۰، ۱۰۰۰، ۱۲۵۰، ۱۵۰۰ و ۱۸۰۰ متر بر روی نقشه برگردان به قطب اعمال شده و در ارتفاع ۱۸۰۰ متر اثر ناحیه‌ای به طور کامل از بین رفته که با کسر آن از نقشه اولیه، اثر بی‌هنجری‌های سطحی محو شده و گسترش عمقی قبل توجه بی‌هنجری‌ها مشخص شده است. از آنجایی که اجزای سیگنال^۱ و نویه^۲ یک موج دارای ویژگی‌های فرکانسی متفاوتی هستند، برای تفکیک آنها از یکدیگر فیلترهای فرکانسی به کار می‌روند. یکی از فیلترهای فرکانسی، فیلتر پایین‌گذر است. با اعمال فیلتر پایین‌گذر، اثر بی‌هنجری‌های سطحی با طول موج کوتاه، حذف و اثر بی‌هنجری‌های عمیق‌تر با طول موج بلندتر، آشکار می‌شود. بدین ترتیب اثر مغناطیسی‌های ناحیه‌ای کوچک، حذف می‌شوند.

مطابق شکل ۱۱ این پردازش بر روی نقشه به دست آمده در شکل ۱۰-۱ به منظور رفع اثرات سطحی جزئی تر اعمال شد که به مرتب اثرات بی‌هنجری‌های اصلی را بهتر نمایان می‌سازد. این پردازش برای ارتفاع ۴۰۰ متر (مناسب‌ترین ارتفاع که براساس تجربه، سعی و خطأ و نیز فاصله پروفیل‌های برداشت انتخاب شده است)، اعمال شده که وجود اثرات بی‌هنجری، نشانگر عمیق بودن آنهاست.

1. Signal

2. Noise

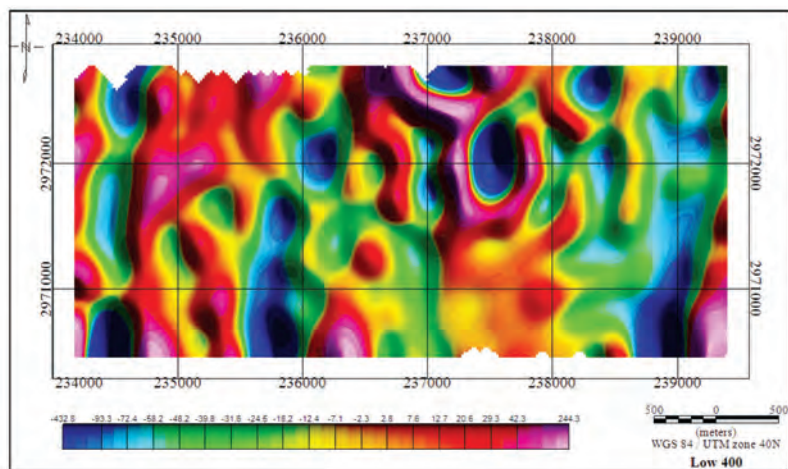
3. Total Horizontal Derivative



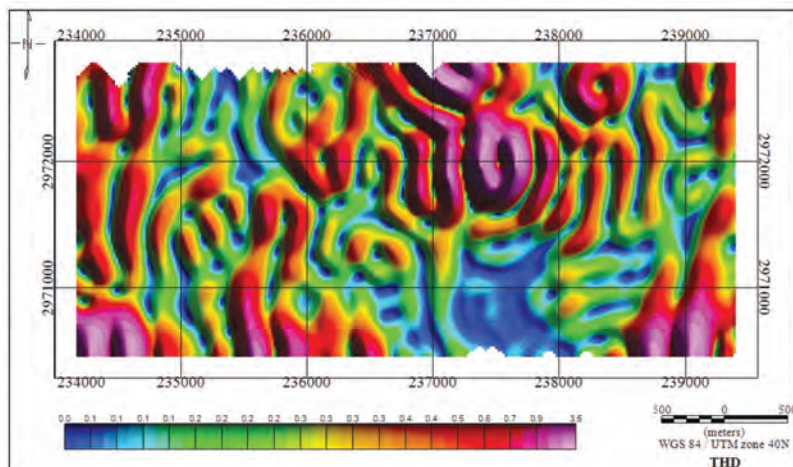
شکل ۱۰. الف تا) نقشه میدان مغناطیسی بعد از اعمال فیلتر گسترش به سمت بالاتر ارتفاع‌های ۲۵۰، ۵۰۰، ۷۵۰، ۱۰۰۰، ۱۲۵۰، ۱۵۰۰ و ۱۸۰۰ متر، ی) نقشه میدان مغناطیسی بعد از کسر اثر ناحیه‌ای (ادامه فراسو برای ارتفاع ۱۸۰۰ متر)

گرادیان، بیانگر مرزهای توده مورد نظر است. مطابق شکل می‌شود و می‌توان نتیجه گرفت که کانی‌سازی دارای راستای شمالی-جنوبی است.

می‌توان نتیجه گرفت که کانی‌سازی دارای راستای شمالی-جنوبی است.



شکل ۱۱. خروجی فیلتر پایین‌گذر به ازای ارتفاع ۴۰۰ متر اعمال شده بر نقشه مغناطیس باقی‌مانده بدون اثر ناحیه‌ای



شکل ۱۲. نقشه گرادیان افقی کل (THD)

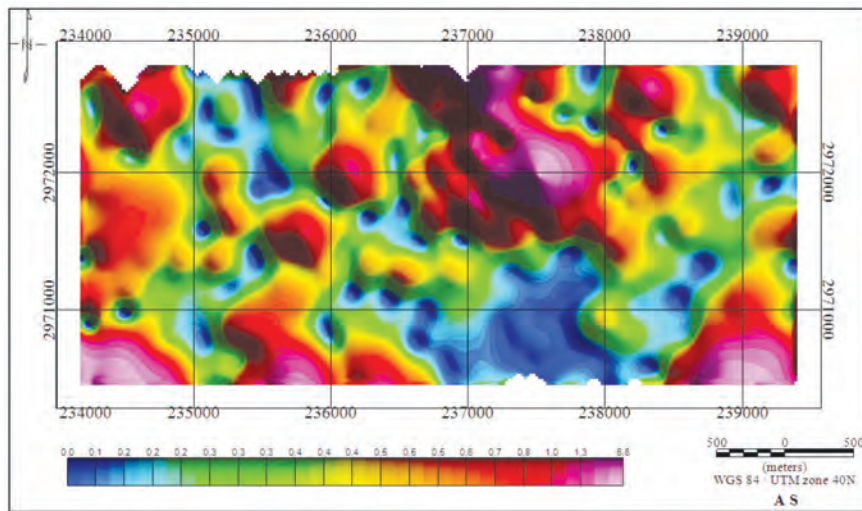
بدون تغییر در مقدار تابع، روی طیف فاز، تغییر ۹۰ درجه‌ای ایجاد می‌کند؛ به عبارت دیگر گرادیان افقی به قائم تبدیل شده و لبه‌های بی‌هنجری‌های مغناطیسی تعیین می‌شود. در شکل ۱۳ نتیجه اعمال این پردازش بر روی شکل ۱۰ نشان داده شده است. همان‌گونه که مشاهده می‌شود، به کمک این پردازش منبع بی‌هنجری، برجسته‌تر شده و چند توده کروی شکل نمایان شده است.

با توجه به نقشه‌های مغناطیس سنجی به دست آمده و مقایسه آنها با نتایج دورستنجی، همپوشانی مناسب بین این دو پردازش را می‌توان نتیجه گرفت. همان‌طور که مشاهده می‌شود مناطق با پتانسیل بالا چه در دورستنجی و چه در مغناطیس سنجی، بیشتر در مرکز محدوده قرار دارند.

بهمنظور تعیین موقعیت تصویر سطحی ماده معدنی و امتداد آن، از نقشه سیگنال تحلیلی استفاده می‌شود. بی‌هنجری‌های مشخص شده در این فیلتر، درست در مرکز ثقل توده قرار دارند و تصویری واقعی از کانسار مدفون را در اختیار قرار می‌دهند. این فیلتر از رابطه ۲ به دست می‌آید:

$$AAS(x, y) = \sqrt{\left(\frac{\partial T}{\partial x}\right)^2 + \left(\frac{\partial T}{\partial y}\right)^2 + \left(\frac{\partial T}{\partial z}\right)^2} \quad (2)$$

می‌توان دامنه سیگنال تحلیلی سه‌بعدی در هر موقعیت را از گرادیان‌های عمود بر هم‌میدان مغناطیسی کل دامنه سیگنال به دست آورد. برای محاسبه سیگنال تحلیلی ابتدا گرادیان افقی تعیین می‌شود و سپس تبدیل هیلبرت برای تعیین گرادیان قائم استفاده قرار می‌گیرد. تبدیل هیلبرت



شکل ۱۳. نقشه سیگنال تحلیلی گستره مورد مطالعه

$$a_z \int_V w_z \left[\frac{\partial}{\partial z} w_r(z) (m - m_{ref}) \right]^2 dV \quad (3)$$

بخش اول معادله، معیار نزدیکی مدل به مدل مرجع (m_{ref}) بوده و دیگر عبارات، میزان همواری مدل در جهت‌های y ، x و z را کنترل می‌کنند. ضریب‌های a_x ، a_y ، a_z برای وزن‌دهی قسمت‌های مختلف معادله بوده که تابع هدف مدل را قادر می‌سازد تا با تغییر یک یا دو پارامتر، موفق به بازسازی مدل‌های نزدیک یا بررسی اولویت در یک راستای خاص هموارتر باشد. توابع وزنی وابسته فضایی از تابع هدف مدل و تابع وزن‌دهی اهمیت یک پارامتر مدل نسبت به دیگری کاربرد دارند (Phillips, 2002).

ϕ_m تابع هدف مدل و w_m ماتریس وزنی عمقی بوده که هدف آن خنثی‌سازی میرایی هندسی حساسیت با استفاده از پارامتر فاصله می‌باشد. بنابراین تمامی سلول‌ها دارای احتمال یکسان برخورداری اثر سرچشمه می‌باشند و از تمرکز مدل در سطح جلوگیری به عمل خواهد آمد (Williams, 2008).

برازش کامل داده‌های اندازه‌گیری شده بر داده‌های محاسبه شده باعث ایجاد خطأ در مدل خواهد شد؛ بنابراین تابع هدف برآذش نیز با رابطه ۴ محاسبه می‌شود:

$$\phi_d = \sum_{i=1}^N \left(\frac{\vec{d}^{obs} - \vec{d}^{Cal}}{\sigma_i} \right)^2 = W_d \left\| \vec{d}^{obs} - \vec{d}^{Cal} \right\|^2 \quad (4)$$

مدل‌سازی وارون سه‌بعدی داده‌ها

رونده‌ی هنجاری‌های مغناطیسی مشاهده شده بر روی سطح را می‌توان با استفاده از داده‌های مغناطیسی، شبیه‌سازی و مدل‌سازی کرد. برای دستیابی به این هدف، منطقه مورد مطالعه به مکعب مستطیل‌های با خودپذیری مغناطیسی ثابت تقسیم‌بندی شد. همچنین مغناطیس بازمانده صفر و مغناطیدگی ناچیز در نظر گرفته شد. به این ترتیب تنها مغناطیس القابی محاسبه شد که این مقدار برای هر سلول ثابت است. برای وارون‌سازی داده‌ها، باید ترکیبی از تابع هدف مدل و تابع هدف برآذش بهینه‌سازی شود (Li and Oldenburg, 1996).

بیشتر وارون‌سازی مسائل ژئوفیزیکی، از نوع مسائل بیش تعیین شده است (Lelievre and Oldenburg, 2006)، بنابراین بی‌نهایت مدل تولید می‌شود که از میان آنها، جواب مطلوب مدلی خواهد بود که با ساختارها و خصوصیات زمین‌شناسی مطابقت بیشتری داشته باشد. در الگوریتم لی-اولدنبورگ، تابع هدف مدل به صورت رابطه ۳ تعریف شده است (Williams, 2008).

$$\begin{aligned} \phi_m &= a_s \int_V w_s [w_r(z) (m - m_{ref})]^2 dV + \\ &a_x \int_V w_x \left[\frac{\partial}{\partial x} w_r(z) (m - m_{ref}) \right]^2 dV + \\ &a_y \int_V w_y \left[\frac{\partial}{\partial y} w_r(z) (m - m_{ref}) \right]^2 dV + \end{aligned}$$

نوفه‌ها تعادل ایجاد می‌کند. تفسیرهای صورت گرفته بر روی داده‌های میدان مغناطیسی کیفی و یا درنهایت نیمه‌کمی است و در تعیین پارامترهای کمی و هندسی کانی‌سازی قابل استفاده نیستند. یکی از بهترین روش‌ها برای تفسیر کمی داده‌های مغناطیسی مدل‌سازی وارون سه‌بعدی است که در آن مدل توزیع خودپذیری ذاتی سنگ‌ها را در سه بعد به تصویر می‌کشد. مطابق شکل ۱۴ گسترده کانسار مراغ با بلوك‌هایی به ابعاد $20 \times 20 \times 20$ متر در راستاهای شمالی-جنوبی و شرقی-غربی و ۱۰ متر در راستای قائم) به صورت سه‌بعدی، مدل‌سازی شده است. وارون‌سازی سه‌بعدی داده‌های این محدوده پس از اعمال پردازش‌های ادامه فراسوی ارتفاع ۱۸۰۰ متر و فیلتر پایین‌گذر ارتفاع ۴۰۰ متر، با استفاده از الگوریتم لی-اولدنبرگ توسط نرم‌افزار 4.0 UBC Mag3D انجام شد. در این مدل‌سازی پارامتر وزن دهنده عمیق

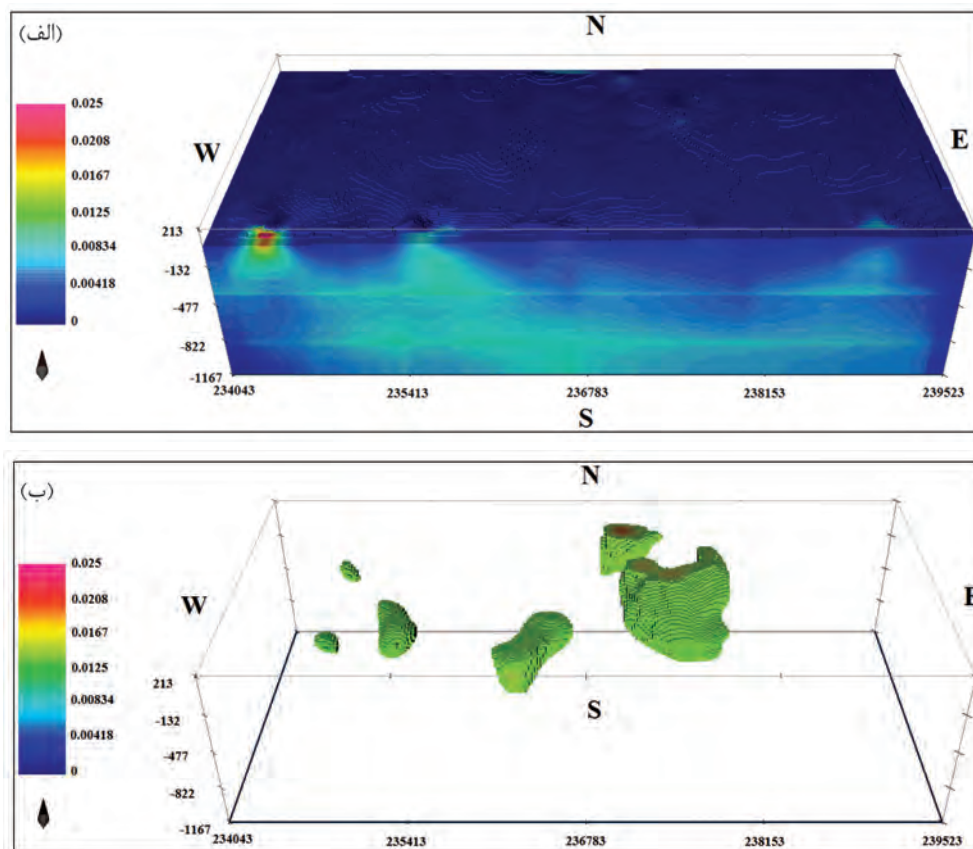
که در آن \vec{d}^{obs} داده‌های برداشت شده، \vec{d}^{cal} داده‌های محاسبه شده و σ انحراف معیار داده‌آم هستند. این انحراف معیار بر روی قطر اصلی ماتریس W قرار خواهد گرفت. پس از اعمال تمامی قیدها به داده‌ها و پارامترهای مدل،تابع هدف زیر حاصل خواهد شد:

$$\phi = \phi_d + \mu \phi_m \quad (5)$$

و به شکل زیر عمومیت پیدا می‌کند:

$$\begin{aligned} \phi(\lambda) &= \phi_d + \mu \phi_m - 2\sum_{j=1}^m \ln m_j \\ \phi &= \left\| \vec{d}^{obs} - \vec{d}^{cal} \right\|^2 + \mu \left\| W_m (\vec{k} - \vec{k}_o) \right\|^2 \\ &\quad - 2\sum_{j=1}^m \ln m_j \end{aligned} \quad (6)$$

که در آن عبارت $2\lambda \sum_{j=1}^m \ln m_j$ تابع مرزی، λ ضریب مرزبندی و m ضریب منظم‌سازی است که بین میزان نزدیکی نمودار مدل نهایی به داده‌های اصلی و عدم مدل‌سازی



شکل ۱۴. (الف) مدل‌سازی سه‌بعدی کانسار مورد مطالعه، (ب) نمایش بلوك‌های بی‌هنجاری کانسار

مورد مطالعه را برای مطالعات بیشتر پتانسیل‌های معدنی نشان می‌دهد.

براساس نتایج، مرحله شناسابی و بی‌جویی توسط روش دورستنجی و احتمال وجود اکسید آهن در گستره، مطالعات ژئوفیزیک اکتشافی، به روش مغناطیس‌سننجی انجام گرفت که پس از انجام تصحیحات مورد نیاز و اعمال پردازش‌های مختلف، کمریندهای بی‌亨جاری منطقه شناسابی شدند. با استفاده از مدل سازی وارون سه‌بعدی انجام شده نیز شکل تقریبی توده کانسار تعیین شده و عمق دفن آن نیز محاسبه شد.

نتایج پژوهش حاضر از طریق تلفیق دو روش سریع و بهنسبت ارزان سنجش از دور و مغناطیس‌سننجی همراه با مدل سازی وارون سه‌بعدی داده‌های مغناطیسی نشان می‌دهند که منطقه مراغ از نظر کانسازی آهن دارای پتانسیل بالایی است. شناسابی چنین پتانسیل مطلوبی می‌تواند منجر به ایجاد یک معدن سنگ آهن در منطقه شده که علاوه بر ارزش اقتصادی بالای این ماده معدنی و سودآوری آن، منجر به اشتغال‌زاپی مستقیم و غیرمستقیم تعداد زیادی نیروی کار در منطقه شود.

منابع

- تاجیک، م. و کاکائی، ر.، ۱۳۸۵. کاربرد تصاویر سنجنده ASTER در تکییک زون‌های دگرسانی مس پرفیزی (برگه ۱:۱۰۰۰۰۰ جبال بارز). بیست و پنجمین گردهمایی علوم زمین.
- علوی پناه، ک.، ۱۳۸۲. کاربرد سنجش از دور در علوم زمین. انتشارات دانشگاه تهران، ۴۹۶.
- فاتحی، م.، نوروزی، غ.ح. و حاجی‌ئی، ف.، ۱۳۹۲. برآورد عمق توده‌های مغناطیسی با استفاده از مشتقات سیگنال تحلیلی. مجله ژئوفیزیک ایران، ۷، ۴، ۵۲-۶۳.
- Abera, B.G., 2005. Application of Remote Sensing and Spatial Data Integration Modeling to Predictive Mapping of Apatite-mineralized Zones in the Bikalal Layered Gabbro Complex, Western Ethiopia ITC. MSc. Thesis, 63.

1. Initial model

2. Reference model

۱۰۰۰ متر و خودپذیری مغناطیسی اولیه^۱ برابر با $0/001$ منظور شد که مطابق آن تمامی منطقه به صورتی همگن، شامل این مقدار خودپذیری مغناطیسی می‌باشد. همچنین در بخش مدل مرجع^۲، مقدار $0/01$ در نظر گرفته شد که با استفاده از الگوریتم مورد استفاده، میزان خودپذیری اولیه به میزان خودپذیری مرجع افزایش می‌یابد. در ادامه مقدار خودپذیری مغناطیسی منطقه مثبت و بین صفر تا $0/3$ محدود شد. در انجام این فرایند، تعداد داده‌های مغناطیسی مورد استفاده ۵۱۱۸ عدد بوده و تعداد کل سلول‌های مدل سازی نیز $2953132 (266 \times 122 \times 91)$ عدد می‌باشد. در نتیجه این فرآیند تعداد شش توده کانسار بزرگ و کوچک به صورت مجزا از هم شناسایی شده که عمیق‌ترین آنها در عمق ۵۰۷ متری قرار دارد و عمق دفن متوسط سایر توده‌ها نیز بین ۲۰۰ تا ۳۰۰ متر است.

مطابق شکل ۱۴-الف در بخش سطحی جنوب غربی گستره مورد مطالعه، بی‌亨جاری قابل توجهی مشاهده می‌شود که به دلیل بسته نشدن دوقطبی بی‌亨جاری و فقدان اطلاعات کافی در مرز در مدل سازی سه‌بعدی، مورد پردازش قرار نگرفته و در نتیجه در شکل ۱۴-ب آثاری از آن دیده نمی‌شود. به منظور دست‌یابی به اطلاعات بیشتر و دقیق‌تر در مورد بی‌亨جاری این بخش، بایستی ایستگاه‌های مغناطیسی متراکم برداشت شوند.

با توجه به کمریند گستره مورد مطالعه (زاگروس) برای صحت سنجی از مدل به دست آمده، می‌توان موقعیت نقاط حفاری را پیشنهاد کرد.

نتیجه‌گیری

با توجه به مطالعات دورستنجی انجام گرفته روی گستره اکتشافی مراغ، به یاری تصویرها و داده‌های سنجنده ASTER اکسیدهای آهن گستره آشکار شده و کمریندهای دگرسانی ۱۰۰۰ متر و خودپذیری مغناطیسی اولیه^۱ برابر با $0/001$ منظور شد که مطابق آن تمامی منطقه به صورتی همگن، شامل این مقدار خودپذیری مغناطیسی می‌باشد. همچنین در بخش مدل مرجع^۲، مقدار $0/01$ در نظر گرفته شد که با استفاده از الگوریتم مورد استفاده، میزان خودپذیری اولیه به میزان خودپذیری مرجع افزایش می‌یابد. در ادامه مقدار خودپذیری مغناطیسی منطقه مثبت و بین صفر تا $0/3$ محدود شد. در انجام این فرایند، تعداد داده‌های مغناطیسی مورد استفاده ۵۱۱۸ عدد بوده و تعداد کل سلول‌های مدل سازی نیز $2953132 (266 \times 122 \times 91)$ عدد می‌باشد. در نتیجه این فرآیند تعداد شش توده کانسار بزرگ و کوچک به صورت مجزا از هم شناسایی شده که عمیق‌ترین آنها در عمق ۵۰۷ متری قرار دارد و عمق دفن متوسط سایر توده‌ها نیز بین ۲۰۰ تا ۳۰۰ متر است.

مطابق شکل ۱۴-الف در بخش سطحی جنوب غربی گستره مورد مطالعه، بی‌亨جاری قابل توجهی مشاهده می‌شود که به دلیل بسته نشدن دوقطبی بی‌亨جاری و فقدان اطلاعات کافی در مرز در مدل سازی سه‌بعدی، مورد پردازش قرار نگرفته و در نتیجه در شکل ۱۴-ب آثاری از آن دیده نمی‌شود. به منظور دست‌یابی به اطلاعات بیشتر و دقیق‌تر در مورد بی‌亨جاری این بخش، بایستی ایستگاه‌های مغناطیسی متراکم برداشت شوند.

با توجه به کمریند گستره مورد مطالعه (زاگروس) برای صحت سنجی از مدل به دست آمده، می‌توان موقعیت نقاط حفاری را پیشنهاد کرد.

نتیجه‌گیری

با توجه به مطالعات دورستنجی انجام گرفته روی گستره اکتشافی مراغ، به یاری تصویرها و داده‌های سنجنده ASTER اکسیدهای آهن گستره آشکار شده و کمریندهای دگرسانی ۱۰۰۰ متر و خودپذیری مغناطیسی اولیه^۱ برابر با $0/001$ منظور شد که مطابق آن تمامی منطقه به صورتی همگن، شامل این مقدار خودپذیری مغناطیسی می‌باشد. همچنین در بخش مدل مرجع^۲، مقدار $0/01$ در نظر گرفته شد که با استفاده از الگوریتم مورد استفاده، میزان خودپذیری اولیه به میزان خودپذیری مرجع افزایش می‌یابد. در ادامه مقدار خودپذیری مغناطیسی منطقه مثبت و بین صفر تا $0/3$ محدود شد. در انجام این فرایند، تعداد داده‌های مغناطیسی مورد استفاده ۵۱۱۸ عدد بوده و تعداد کل سلول‌های مدل سازی نیز $2953132 (266 \times 122 \times 91)$ عدد می‌باشد. در نتیجه این فرآیند تعداد شش توده کانسار بزرگ و کوچک به صورت مجزا از هم شناسایی شده که عمیق‌ترین آنها در عمق ۵۰۷ متری قرار دارد و عمق دفن متوسط سایر توده‌ها نیز بین ۲۰۰ تا ۳۰۰ متر است.

مطابق شکل ۱۴-الف در بخش سطحی جنوب غربی گستره مورد مطالعه، بی‌亨جاری قابل توجهی مشاهده می‌شود که به دلیل بسته نشدن دوقطبی بی‌亨جاری و فقدان اطلاعات کافی در مرز در مدل سازی سه‌بعدی، مورد پردازش قرار نگرفته و در نتیجه در شکل ۱۴-ب آثاری از آن دیده نمی‌شود. به منظور دست‌یابی به اطلاعات بیشتر و دقیق‌تر در مورد بی‌亨جاری این بخش، بایستی ایستگاه‌های مغناطیسی متراکم برداشت شوند.

با توجه به کمریند گستره مورد مطالعه (زاگروس) برای صحت سنجی از مدل به دست آمده، می‌توان موقعیت نقاط حفاری را پیشنهاد کرد.

- Alian, F. and Bazamad, M., 2014. Petrography of Zendan salt dome (Hara), Bandar Lengeh. In 6th Symposium of Iranian Society of Economic Geology, Sistan and Baluchestan University, Zahedan, Iran.
- Azizi, H., Tarverdi, M.A. and Akbarpour, A., 2010. Extraction of hydrothermal alterations from ASTER SWIR data from east Zanjan, northern Iran. *Advances in Space Research*, 46, 1, 99-109.
- Boloki, N. and Poormirzaee, R., 2009. Using ASTER image processing for hydrothermal alteration and key alteration minerals mapping in Siyahrud, Iran. *International Journal of Geology*, 2, 3, 38-43.
- Cooper, G.R.J. and Cowan, D.R., 2006. Enhancing potential field data using filters based on the local phase. *Computers and Geosciences*, 32, 10, 1585-1591.
- Crosta, A.P., De Souza Filho, C.R., Azevedo, F. and Brodie, C., 2003. Targeting key alteration minerals in epithermal deposits in Patagonia, Argentina, using ASTER imagery and principal component analysis. *International Journal of Remote Sensing*, 24, 21, 4233-4240.
- Di Tommaso, I. and Rubinstein, N., 2007. Hydrothermal alteration mapping using ASTER data in the Infiernillo porphyry deposit, Argentina. *Ore Geology Reviews*, 32, 1-2, 275-290.
- Fakhari, S., Jafarirad, A., Afzal, P. and Lotfi, M., 2019. Delineation of hydrothermal alteration zones for porphyry systems utilizing ASTER data in Jebal barez area, SE Iran. *Iranian Journal of Earth Sciences*, 11, 80-92.
- Gupta, H.K. and Roy, S., 2007. *Geothermal Energy: an alternative resource for the 21st century*. Elsevier, 279.
- Haddadan, M., 2006. Geological Map of Iran, Garmsar sheet, scale 1:100,000. Geological Survey of Iran, Lar.
- Hewson, R.D., Cudahy, T.J., Mizuhiko, S., Ueda, K. and Mauger, A.J., 2005. Seamless geological map generation using ASTER in the Broken Hill-Curnamona province of Australia. *Remote Sensing of Environment*, 99, 1-2, 159-172.
- Khaleghi, M. and Ranjbar, H., 2011. Alteration mapping for exploration of porphyry copper mineralization in the Sarduiyeh area, Kerman province, Iran, using ASTER SWIR data. *Australian Journal of Basic and Applied Sciences*, 5, 8, 61-69.
- Lelievre, P.G. and Oldenburg, D.W., 2006. Magnetic forward modelling and inversion for high susceptibility. *Geophysical Journal International*, 166, 1, 76-90.
- Li, Y. and Oldenburg, D.W., 1996. 3-D inversion of magnetic data. *Geophysics*, 61, 2, 394-408.
- Ninomiya, Y., 2003. A stabilized vegetation index and several mineralogic indices defined for ASTER VNIR and SWIR data. In IGARSS. IEEE International Geoscience and Remote Sensing Symposium. Proceedings (IEEE No. 03CH37477) (3, 1552-1554).
- Parker, R.L. and Huestis, S.P., 1974. The inversion of magnetic anomalies in the presence of topography. *Journal of Geophysical Research*, 79, 11, 1587-1593.
- Phillips, N.D., 2002. Geophysical inversion in an integrated exploration program: Examples from the San Nicolas deposit. Doctoral dissertation, University of British Columbia, 263.
- Ranjbar, H., Honarmand, M. and Moezifar, Z., 2004. Application of the Crosta technique for porphyry copper alteration mapping, using ETM+ data in the southern part of the Iranian volcanic sedimentary belt. *Journal of Asian Earth Sciences*, 24, 2, 237-243.
- Rowan, L.C. and Mars, J.C., 2003. Lithologic mapping in the Mountain Pass, California area using advanced space-borne thermal emission

- and reflection radiometer (ASTER) data. *Remote Sensing of Environment*, 84, 3, 350-366.
- Sabins, F.F., 1999. Remote sensing for mineral exploration. *Ore Geology Reviews*, 14, 3-4, 157-183.
 - Schoppa, A., Schneider, J. and Wuppermann, C.D., 2000. Influence of the manufacturing process on the magnetic properties of non-oriented electrical steels. *Journal of Magnetism and Magnetic Materials*, 215, 74-78.
 - Soe, M., Kyaw, T.A. and Takashima, I., 2005. Application of remote sensing techniques on iron oxide detection from ASTER and Landsat images of Tanintharyi coastal area, Myanmar. *Scientific and Technical Reports of Faculty of Engineering and Resource Science, Akita University*, 26, 21-28.
 - Torres, C.A., 2007. Mineral Exploration Using GIS and Processed Aster Images. *Advance GIS EES 6513 (Spring)*, University of Texas at San Antonio.
 - Williams, N.C., 2008. Geologically-constrained UBC-GIF gravity and magnetic inversions with examples from the Agnew-Wiluna greenstone belt, Western Australia. Doctoral dissertation, University of British Columbia, 509.
 - Yamaguchi, Y., Fujisada, H., Tsu, H., Sato, I., Watanabe, H., Kato, M., Kudoh, M., Kahle, A.B. and Pniel, M., 2001. ASTER early image evaluation. *Advances in Space Research*, 28, 1, 69-76.
 - Yuhas, R.H., Goetz, A.F. and Boardman, J.W., 1992. Discrimination among semi-arid landscape endmembers using the spectral angle mapper (SAM) algorithm. *Geoscience Workshop*, 1, AVIRIS Workshop, 147-149.
 - Zamyad, M., Afzal, P., Pourkermani, M., Nouri, R. and Jafari, M.R., 2019. Determination of hydrothermal alteration zones by remote sensing methods in Tirka area, Toroud, NE Iran. *Journal of the Indian Society of Remote Sensing*, 47, 1817-1830.